

# 応力ワニスによる熔接試験片の荷重変形模様

(日本鐵鋼協会第16回講演大會講演 昭和11年10月)

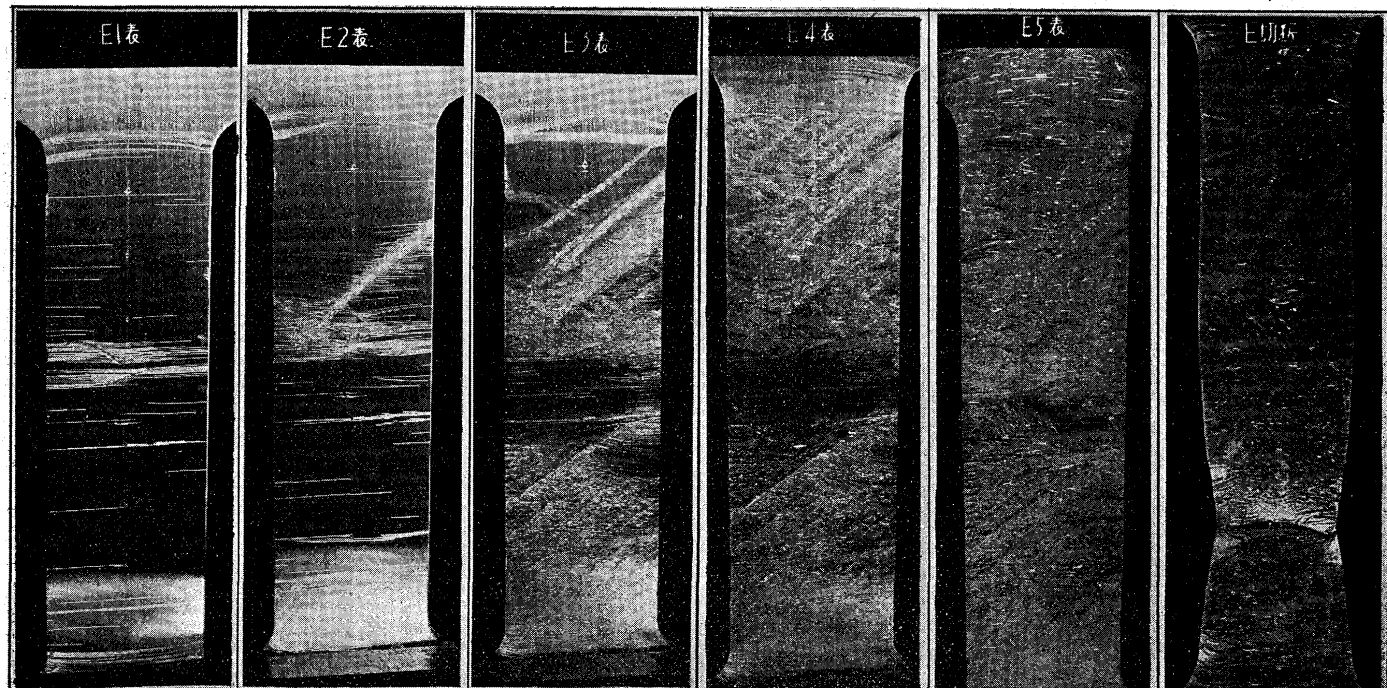
佐々木 新太郎\*

**序** 今時餘り彈性に富まぬ塗料を塗装し荷重を加へて材質の変形又は破断する状況を研究する方法が試みられる様になった、即ち試験片の表面に応力ワニスを塗装して荷重を加へると鋼材は弾性又は塑性変形をなして色々の歪を起すがワニスの方は弾性を缺くが故に鋼と同様に伸びることが出来ないで塗膜に亀裂を生ずる。鋼の歪の多い所程塗膜の亀裂を多く生ずるので其の亀裂模様より荷重に應じて如何なる歪を生じ又何所が一番多く歪を生じ破損が起るかを知ることが出来るのである。以下著者の試みた応力ワニスによる熔接試験片の荷重変形模様を記述する。因に使用せる応力ワニスは松脂にフェノール混合物を配合し更に適量の軟化剤を加へアセトンに溶解したものである。

## 写真説明

第1圖：一 軟鋼板に引張荷重を加へ荷重に應じてワニス皮膜上に如何に亀裂模様が現れるかを示したものである。

第2圖 衔合熔接 母板=軟鋼 熔接棒=軟鋼用棒

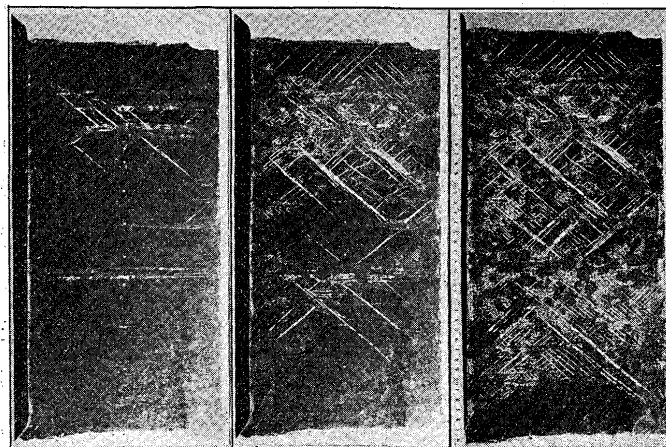


荷重 $kg/mm^2$	22.86	27.09	29.43	30.00	37.14	44.28
伸 $(140mm)\%$	—	0.08	1.06	2.12	4.79	23.46

\* 三菱重工業株式會社長崎造船所

圖の左端は材質が降伏點に達して急激に塑性変形を始めた

第1圖 応力ワニス皮膜上に現れたる軟鋼材の引張変形模様



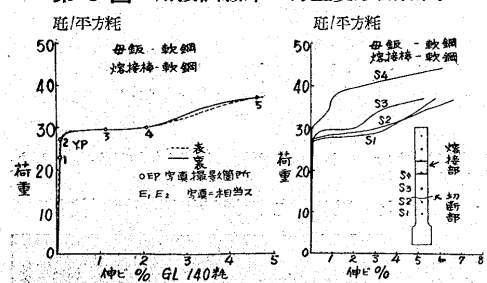
荷重 $kg/mm^2$	32.42	32.45	32.82
伸 $(300mm)\%$	0.43	1.37	2.23

所である。荷重の増加につれて亀裂模様は増大して行き材質破損の進展状態を示してゐる。即ちワニスの亀裂線は shear の方向に現れて良く軟鋼の破損状態と一致するを

見る。

第2圖及第3圖：一軟鋼釩を軟鋼熔接棒を以てV型衝合

第3圖 熔接試験片の荷重変形關係圖

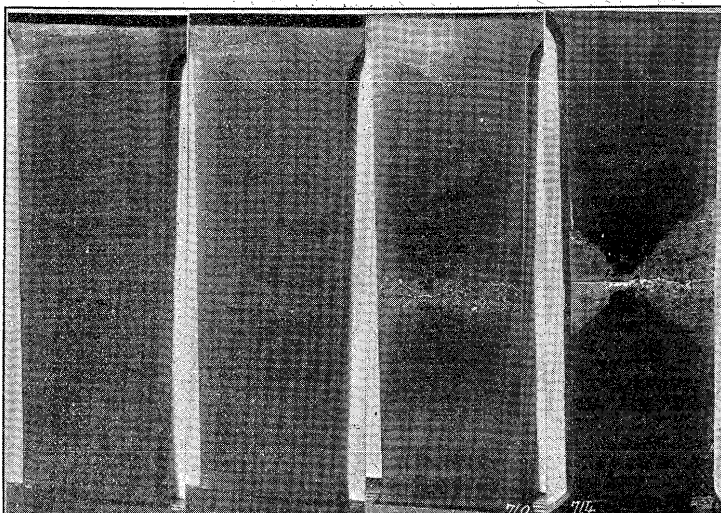


なる數字は第3圖に示す荷重変形曲線上に記載せる(1), (2), (3), (4)及(5)の位置に於ける龜裂模様を現したものである。試験片の大きさは幅50mm 厚9mm 標點距離140mm 第2圖の(2)は恰度試験片が降伏點に達した所で熔着鐵外の母板に降伏を起した事を示す龜裂模様が現れてゐる。荷重の増加と共に龜裂模様は漸次熔着鐵にも進展し最後に斷面收縮の多い母板から切斷してゐる。第3圖右は本試験片各區の荷重と伸の関係を示す。母板が多く伸び熔着鐵は餘り伸びないで第2圖の龜裂模様出現の状況と一致する。

第4圖：一軟鋼釩を高抗張力鋼熔接棒を以てV型衝合熔接せる試験片に荷重を加へ破断に到る迄の塗膜龜裂模様を

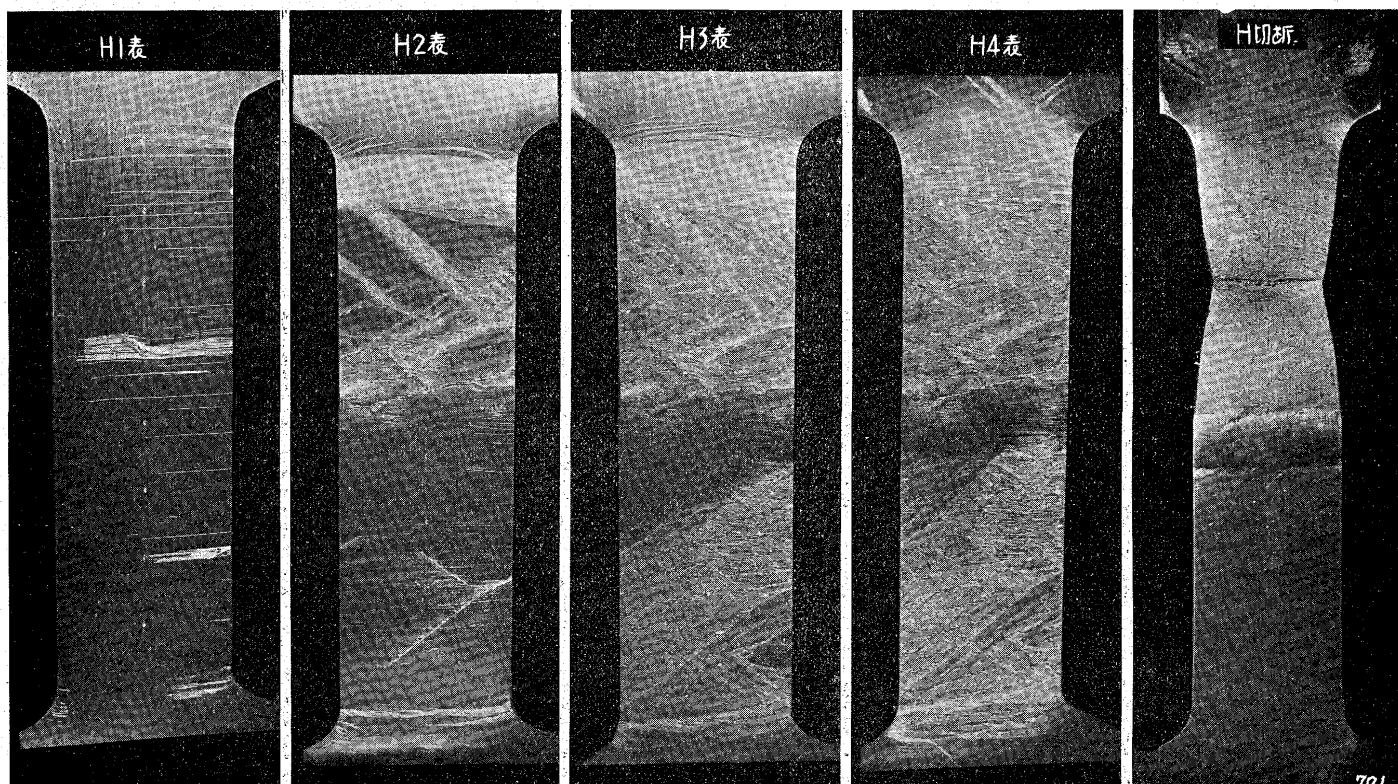
示したものである。試験片の大きさは幅50mm 厚9mm 標點距離140mm 本試験片に於ては初め母板部に降伏が起きたことを示す龜裂模様が現れてゐる。荷重の増加と共に母板の龜裂模様は順次進展するが熔接部には熔着鐵の伸びが少い爲に現れ方が極めて少い。最後に斷面收縮の多い母板から切斷してゐる。

第5圖 衝合熔接 母板=高抗張力鋼 熔接棒=軟鋼用



荷重kg/mm<sup>2</sup> 20.00 30.00 37.50 41.30  
伸(140mm)% 0.15 0.35 0.74 1.79

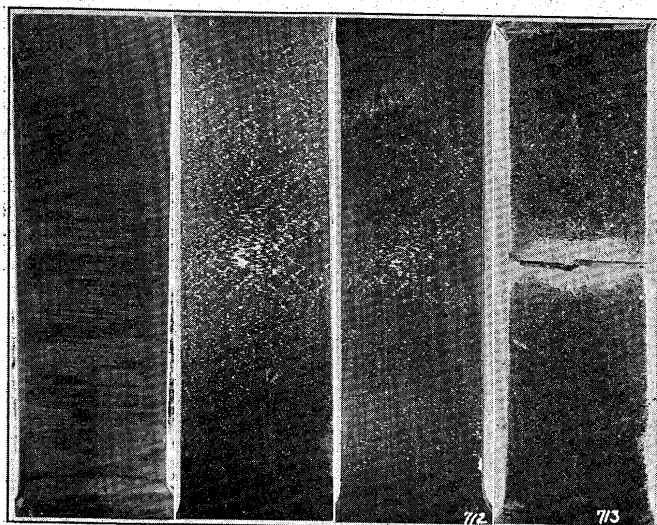
第4圖 衝合熔接 母板=軟鋼 熔接棒=高抗張力鋼用



荷重 kg/mm<sup>2</sup> 22.86 28.57 30.00 32.28 44.85  
伸(140mm)% — 0.62 2.06 3.48 18.92

**第5圖:**一 高抗張力鋼板を軟鋼熔接棒にて V 型衝合熔接せる試験片の荷重変形模様を示せるものである。本試験片は熔着鐵にプロ・ホール多く真の断面積が母板に比して小さく隨て此の部分に内部應力が集中して早く降伏が起りて遂に熔着鐵より切斷してゐる。母板は殆ど降伏を起す迄に至て居らぬ。而して熔着鐵から降伏を始めているからプロ・ホールの大きさが變形の進むに従ひ擴大せられプロ・ホールの影響が他の場合より大なることに注意される。

**第6圖** 衝合熔接 母板=高抗張力鋼 熔接棒=高抗張力鋼用



荷重 kg/mm <sup>2</sup>	20.00	45.00	50.00	58.80
伸び (1/mm)	0.14	1.10	1.73	4.14

**第6圖:**一 高抗張力鋼板を高抗張力鋼熔接棒にて V 型衝合熔接せる試験片のワニスの龜裂模様である。熔着鐵にプロ・ホール多く母板に比し断面積小なる爲に此の部分に

應力が集中する傾向を生じて熔接部分に龜裂模様が多く現れ最後に熔着鐵より切斷してゐる。

**第7圖:**一 従來の試験片では比較的均等な性質を有する鋼板の試験片形態をその儘熔接試験片に踏襲してゐるのであるが熔接部が極めて不均等な材質である熔接試験片の熔着鐵の良否を知る目的とする場合には從来の試験片の形態では母板より切斷すること多く熔着鐵の良否を的確に知ることが出来ない。故に熔着鐵の良否を知る目的の爲に試験片の形態に就て種々の考案が思ひ付かれて居る。此の場合に考慮すべき事は抗張力試験片は必ず熔着鐵より切斷せしめ然も熔着鐵に對する荷重集中率を大にせざる様な形態のものでなければならぬ。第7圖は從来短冊形であった兩側の平行部分に圓形切り込みを探りて熔着鐵の所の幅を最小にしたものである。此の際圓味の半径の大きさを如何程にするかが問題である。第7圖に示す試験片は軟鋼板を高抗張力鋼熔接棒で V 型衝合熔接した試験片で切込半径 10mm 最小幅 40mm のものである。本試験片の如き形狀では必ず中央熔接部に龜裂模様が現はれ内力の大きさが或點に到れば母板にも現れて来る。圖中左より 3番目以下は母板に龜裂模様が現れた所である。最後に幅の最も狭い熔着鐵から切斷してゐる。

**第8圖:**一 軟鋼板を高抗張力熔接棒で V 型衝合熔接せるものであつて切込半径 50mm 最小幅 40mm の試験片である。此の試験片の如く切込半径が大なるものでは龜裂模様は最初母板に現れ次に熔着鐵に現れる。最後に断面收縮の大なる熔着鐵隣接部から切斷する。圖に於て荷重の相當

**第7圖** 衝合熔接 母板=軟鋼 熔接棒=高抗張力鋼用 切込半径=10mm

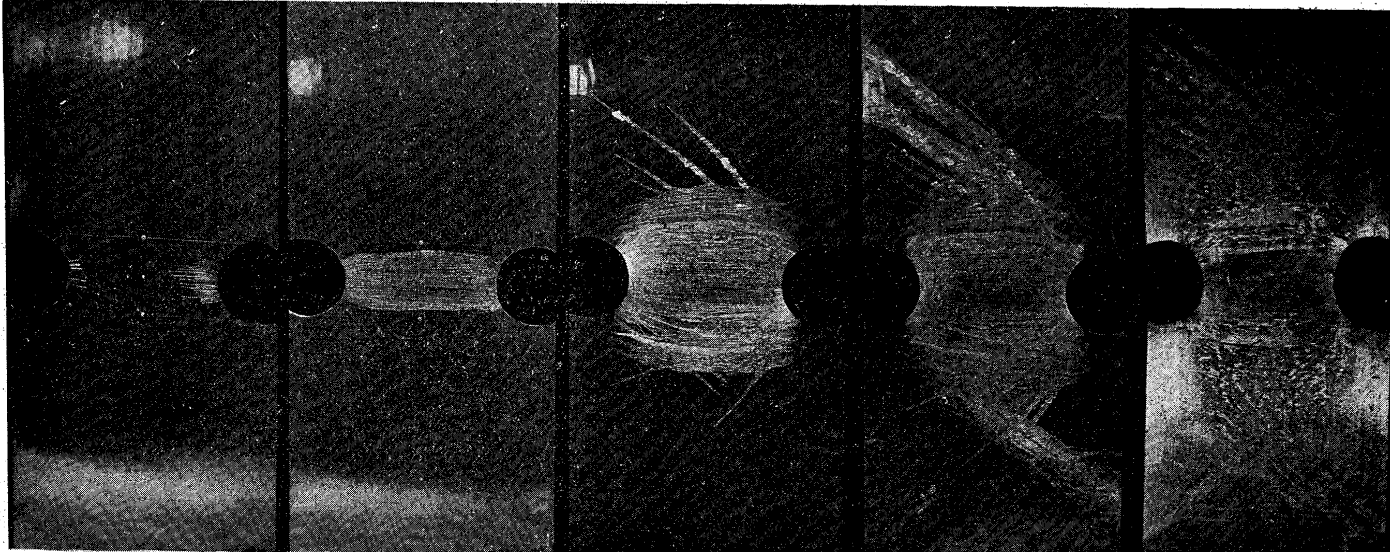
I<sub>1</sub> 裏

I<sub>2</sub> 裏

I<sub>3</sub> 裏

I<sub>4</sub> 裏

I<sub>5</sub> 裏



荷重 kg/mm<sup>2</sup> 32.89

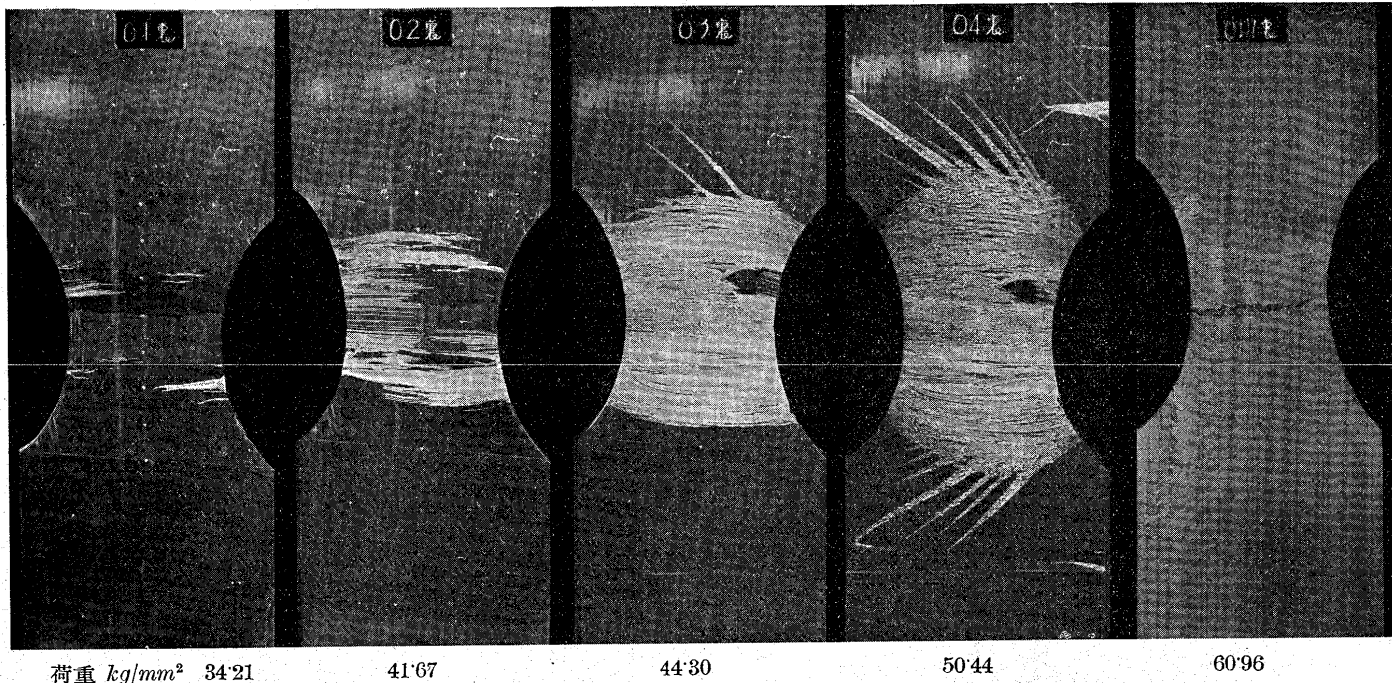
39.47

42.10

46.50

55.26

第8圖 衝合熔接 母板=軟鋼 熔接棒=高抗張力鋼用 切込半径=50mm

荷重  $kg/mm^2$  34.21

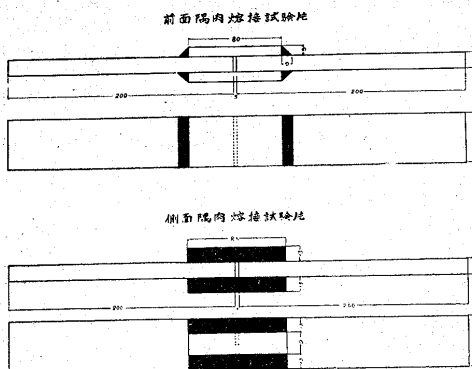
41.67

44.30

50.44

60.96

第9圖 當金隅肉熔接試驗片



大なるにも關  
はらず中央邊  
に龜裂模様が  
現れない部分  
が見受られる  
此は熔接の爲  
に熱影響をう  
けた材質の不  
均等に依るも

切斷されると云ふ目的は達せられぬ。故に熔着鐵に對する  
荷重集中率を出来る丈け小にして常に熔着鐵から切斷せら  
れる様にするには切込半徑に自ら限度があることが知られ  
る。

第9圖:—當金隅肉熔接試驗片の形狀で上圖は前面隅内  
下圖は側面隅肉熔接試験片を示したものである。

第10圖:—當金前面隅肉熔接試驗片に荷重を加へた場合  
の龜裂模様を示したものであつて試験片の寸法は第9圖  
(上)に示す通りで隅肉を等脚3角形に仕上げたものである  
荷重を加へると隅肉の一部に龜裂模様が現れ最後に隅肉熔  
着鐵から切斷した。此の形の試験片で注意すべき事は片側

第11圖 當金側面隅肉熔接 母板=軟鋼 熔接棒=軟鋼用

のである。斯くの如く切込半径を大にすると熔着鐵に對する  
荷重集中率が少くなる方には都合良いが常に熔着鐵より

第10圖 當金前面隅肉熔接 母板=軟鋼 熔接棒=軟鋼用

荷重  $t$  9.9

16.3

荷重  $t$  15.5

21.1

の上部隅肉が破断した場合は他の片側では必ず下部隅肉が同時に破断する。圖に見られる如く切斷附近に於ては當金及母鉄にも少し龜裂模様が現れた。

第11圖:一は當金側面隅肉熔接試験片に荷重を加へた場合の龜裂模様を示したものである。試験片の寸法は第9圖に示す通りで隅内部は断面が等脚3角形なる如く仕上げた、荷重を加ふれば隅肉の上下兩端部より龜裂模様が現れ最後に熔着鐵より破断した。此の形の試験片で注意すべき

ことは破断時に於て必ず半面の當金は壓縮力を受け他の半面の當金は張力を受ける。切斷時の状態を示す第3圖の内左は壓縮を受けた半面右は張力を受けた半面である。此の場合母鉄にも龜裂模様が多く現れて居る。

本報告は應力ワニスの紹介を目的としたに止まり理論的結論を述べたものでは無い。此れを應用して理論的結論を述べることは他日に譲ることにした。

## 強靭耐蝕性鍛錬アルミニウム青銅の研究

(第3回工學大會 昭和11年4月)

田邊友次郎  
小磯五郎\*\*

### ON SOME STRONG ANTICORROSSIVE WROUGHT ALUMINIUM-BRONZES.

Tomojiro Tanabe, Kogakuhakushi, and Goro Koiso.

*SYNOPSIS:*—The effects of iron on two-phase plain Aluminium-Bronzes have been examined, the conclusion being that Dr. Asado's theory of grain refinement caused by peritectic reaction would not be applied, at least, in wrought  $\alpha+\delta$ -Aluminium-Bronze. The authors, then, have studied the Mechanical and Chemical behaviors of some known or new special wrought Aluminium-Bronzes. These alloys referred are our "H.B"-Alloy-Series, "Ha 7", D.T.D. 135-Alloy "FA" Alloy and Silicon-Aluminium-Bronze. The properties of HB-4 (the strongest of all) are as follow;

1. Composition	Al%	Ni%	Fe%	Mn%	Zn%	Other%	Cu%
	10~12.5	6±1	6±1	1~2	<2	<1	Remainder

2. Physical Properties	Specific gravity (20°C)	Coefficient of Linear Expansion (20~200°C)	Electrical Conductivity % (20°C)
	7.4	2.22×10 <sup>-5</sup>	7

### 3. Mechanical Properties

Form and Heat Treatment	Yield Point (0.2%) kg/mm <sup>2</sup>	Tensile strength kg/mm <sup>2</sup>	Elong. (50 mm) %	Hardness	
				Brinell (10~1000)	Rockwell (C)
(1) Rod ( $\phi 25\sim 100\text{ mm}$ )					
Quenched at 850°C and tempered at 300~400°C	75~100	90~120	3~1	280~350	38~41
* Annealed	37~50	78~85	1~10	000~210	—
(2) Sheet					
(1.2×350×1,500 mm as rolled)	87~91	94~97	5~6	—	26~29
Annealed at 350~450°C (air-cooling)	83~92	96~99	4~75	—	28~31
Do. at 500°C (furnace-cooling)	60	84.5	17	—	22
Quenched at 850°C and tempered at 350~400°C	—	—	—	—	41~44
Quenched at 850°C and tempered at 550~600°C	67~76	94~100	7~15	—	25

\* Modulus of elasticity = 12,110 kg/mm<sup>2</sup>  
fatigue limit = 37.8 kg/mm<sup>2</sup>

(Prof. Ono's Machine)  
 $N=10^7$

\* 住友金属工業株式會社伸銅所研究部長

\*\* 上同部 部員